



**DEPARTAMENTO  
DE COMPUTACION**

Facultad de Ciencias Exactas y Naturales - UBA

# Trabajo Práctico Número 2

8 de Abril de 2016

Algoritmos y Estructuras de Datos III

Integrante	LU	Correo electrónico
Ciruelos Rodríguez, Gonzalo	063/14	gonzalo.ciruelos@gmail.com
Costa, Manuel José Joaquín	035/14	manucos94@gmail.com
Gatti, Mathias Nicolás	477/14	mathigatti@gmail.com
Maddonni, Axel Ezequiel	200/14	axel.maddonni@gmail.com



**Facultad de Ciencias Exactas y Naturales**  
**Universidad de Buenos Aires**

Ciudad Universitaria - (Pabellón I/Planta Baja)

Intendente Güiraldes 2160 - C1428EGA

Ciudad Autónoma de Buenos Aires - Rep. Argentina

Tel/Fax: (54 11) 4576-3359

<http://www.fcen.uba.ar>

# Índice

<b>1. Una Nueva Esperanza</b>	<b>4</b>
1.1. Explicación formal del problema . . . . .	4
1.2. Explicación de la solución . . . . .	5
1.2.1. Construcción de $G'$ . . . . .	5
1.2.2. Correctitud y optimalidad . . . . .	7
1.2.3. Explicación del código . . . . .	8
1.3. Complejidad del algoritmo . . . . .	11
1.4. Performance del algoritmo . . . . .	12
1.4.1. Método de experimentación . . . . .	16
<b>2. El Imperio Contraataca</b>	<b>17</b>
2.1. Explicación formal del problema . . . . .	17
2.2. Explicación de la solución . . . . .	17
2.2.1. Explicación del código . . . . .	17
2.2.2. Pseudocódigo . . . . .	17
2.2.3. Correctitud . . . . .	17
2.2.4. Optimalidad . . . . .	17
2.3. Complejidad del algoritmo . . . . .	17
2.3.1. Complejidad en peor caso . . . . .	17
2.3.2. Complejidad en mejor caso . . . . .	17
2.4. Performance del algoritmo . . . . .	17
2.4.1. Método de experimentación . . . . .	20
<b>3. El Retorno del <del>que te</del> Jedi</b>	<b>21</b>
3.1. Explicación formal del problema . . . . .	21
3.1.1. Ejemplos . . . . .	21
3.2. Formulación Recursiva . . . . .	21
3.2.1. Demostración de Correctitud . . . . .	22
3.3. Pseudocódigo . . . . .	22
3.3.1. Enfoque top-down vs. bottom-up . . . . .	22
3.4. Complejidad del algoritmo . . . . .	22
3.4.1. Complejidad en peor caso . . . . .	22
3.4.2. Complejidad en mejor caso . . . . .	22

3.5. Performance del algoritmo . . . . .	22
3.5.1. Método de experimentación . . . . .	24
<b>4. Apéndice</b>	<b>25</b>
4.1. Generación de grafos conexos aleatorios . . . . .	25

# 1. Una Nueva Esperanza

## 1.1. Explicación formal del problema

Sea  $G = (V, E)$  un grafo simple conexo con  $V = \{v_0, v_1, \dots, v_{n-1}\}$ ,  $n \geq 2$ , y  $m$  aristas. Además sea  $M \subseteq E$  tal que  $M \neq \emptyset$ . Se desea hallar un camino (no necesariamente simple) de  $v_0$  a  $v_{n-1}$  que pase al menos dos veces por un eje de  $M$  (potencialmente el mismo) y que tenga longitud mínima.

En la figura (1) pueden verse tres ejemplos. Los tres son muy parecidos pero permiten ilustrar distintas situaciones. En el primero (de izquierda a derecha y de arriba a abajo) encontramos el camino simple  $P = (v_0, v_1, v_3, v_4, v_5)$  de longitud 4 que cumple con lo pedido pues tiene dos aristas especiales y es de longitud mínima.

En el segundo se agregó una arista corriente entre los nodos  $v_0$  y  $v_5$ . Puede notarse que en este caso el mejor camino es  $P = (v_0, v_2, v_0, v_5)$  de longitud 3, el cual claramente no es simple pues pasa dos veces por el vértice  $v_0$ .

En el último caso, la arista recientemente agregada pasa a ser especial. Al hacer esto tenemos dos caminos de longitud mínima entre los que pasan por dos aristas especiales: el  $P$  que encontramos antes, y  $P' = (v_0, v_5, v_0, v_5)$ . Notar que  $P'$  no solo no es simple, sino que también usa a  $v_5$  como nodo intermedio. Cualquiera de los dos es igualmente aceptable.

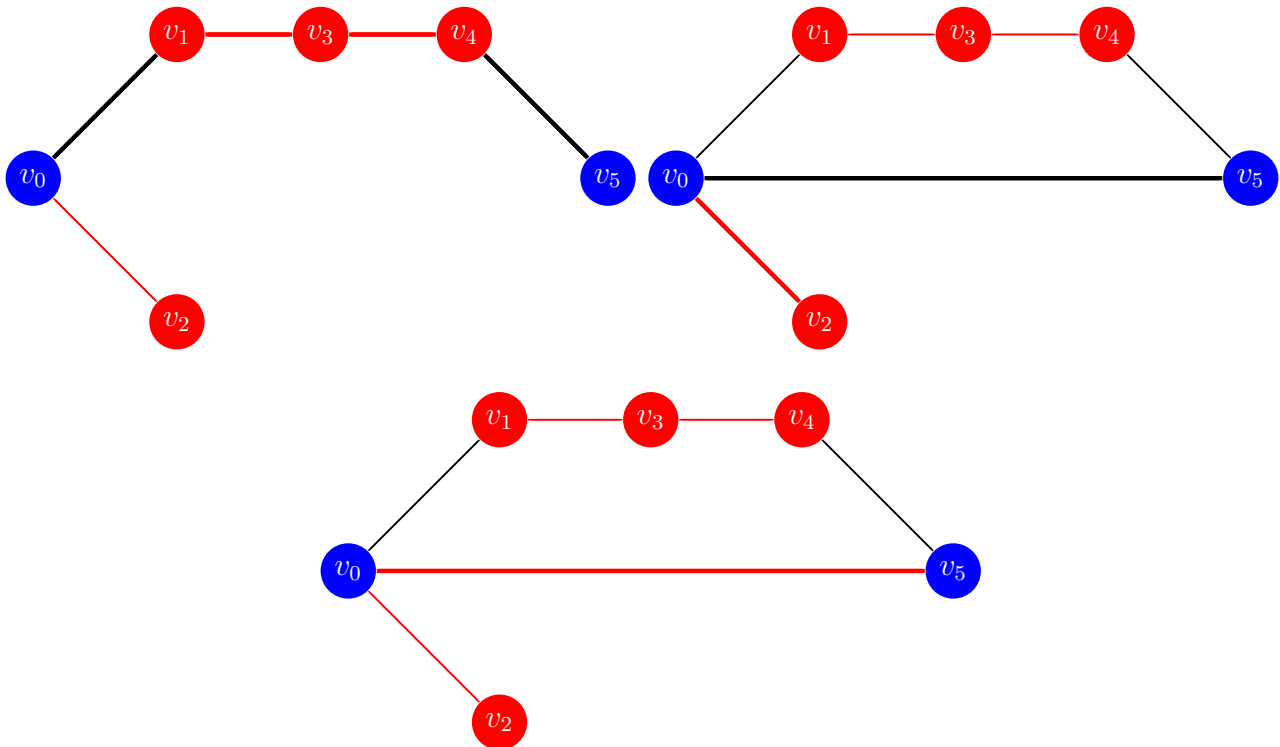


Figura 1: Ejemplos del problema. Las aristas especiales están pintadas de rojo y las comunes de negro. Las aristas que pertenecen a la solución están engrosadas. En azul distinguimos a los nodos inicial y final.

## 1.2. Explicación de la solución

Si bien lo que se pide es, en definitiva, encontrar un camino mínimo en  $G$ , la dificultad adicional que implica hacer que el camino contenga al menos dos aristas de  $M$  hace que no podamos aplicar de forma directa los algoritmos clásicos para este propósito. Para solventar esto consideraremos un grafo alternativo a  $G$ ,  $G'$ , con el cual resolver el problema planteado originalmente será equivalente a encontrar un camino mínimo en  $G'$  de forma tradicional (en este caso utilizando BFS).

### 1.2.1. Construcción de $G'$

Lo primero que haremos es armarnos un grafo nuevo  $G'$  a partir de  $G$ .

Consideramos tres grafos isomorfos a  $G$ :  $G_0 = (V_0, E_0)$ ,  $G_1 = (V_1, E_1)$  y  $G_2 = (V_2, E_2)$ , tales que  $f_k : V \rightarrow V_k / f_k(v_i) = v_{k \times n + i}$  para  $k \in \{0, 1, 2\}$  son las biyecciones correspondientes. En particular,  $G_1 = G$ . La figura (2) ilustra la situación para un ejemplo puntual.

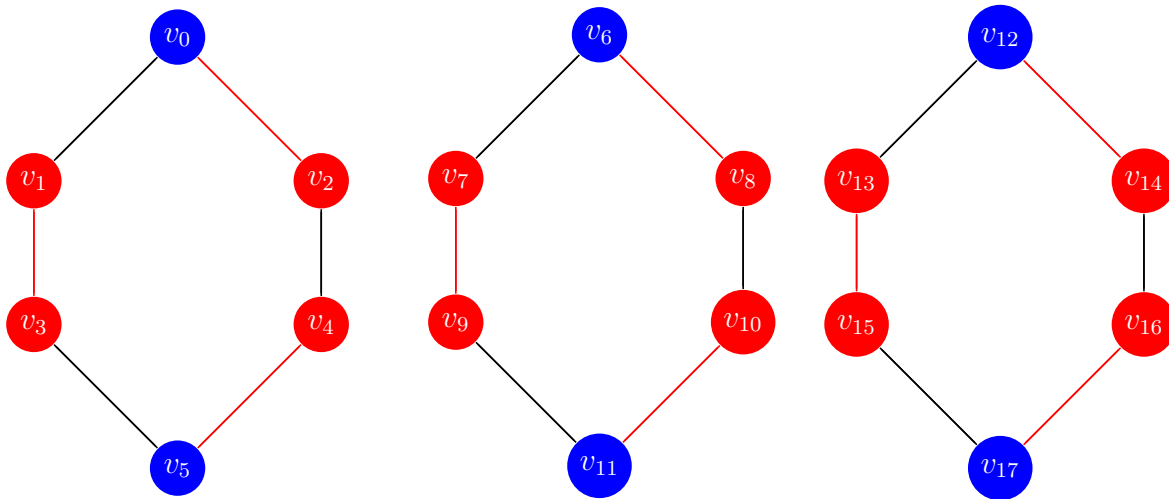


Figura 2: Tres isomorfismos del grafo original, contruidos de la forma indicada.

Además, definimos  $M'$ , un conjunto de arcos (aristas orientadas) de peso 1, como

$$M' = \{(f_0(v), f_1(w)) \text{ y } (f_0(w), f_1(v)) / (v, w) \in M\} \cup \{(f_1(v), f_2(w)) \text{ y } (f_1(w), f_2(v)) / (v, w) \in M\}$$

Por ejemplo, en la figura (2) la arista  $(v_0, v_2) \in M$ . Entonces queremos que  $M'$  tenga los arcos  $(v_0, v_8)$ ,  $(v_2, v_6)$ ,  $(v_6, v_{14})$  y  $(v_8, v_{12})$ . Observar que en  $M'$  solo hay arcos que van de nodos de  $G_0$  a nodos de  $G_1$ , y de  $G_1$  a  $G_2$ . En ningún caso hay arcos de  $G_t$  a  $G_h$ , con  $h < t$ ; ni arcos que vayan directamente de  $G_0$  a  $G_2$ .

Entonces hasta acá tenemos tres grafos conexos isomorfos. Podemos pensarlos como las tres componentes conexas de un grafo con  $3n$  vértices y  $3m$  aristas. A continuación uniremos estas tres componentes mediante los arcos de  $M'$ : sea  $G^* = (V_1 \cup V_2 \cup V_3, E_1 \cup E_2 \cup E_3 \cup M')$ .

Podemos pensar a  $G^*$  con la siguiente analogía: cada una de las tres componentes es un nivel, y los arcos “escaleras mecánicas” que permiten subir de un nivel al siguiente en forma unidireccional y que no se saltea niveles. En este contexto,  $G_k$  será el nivel  $k$ . Notar que entonces  $G^*$  no es fuertemente conexo pues desde un nodo del nivel 2 o 3 no puedo alcanzar a

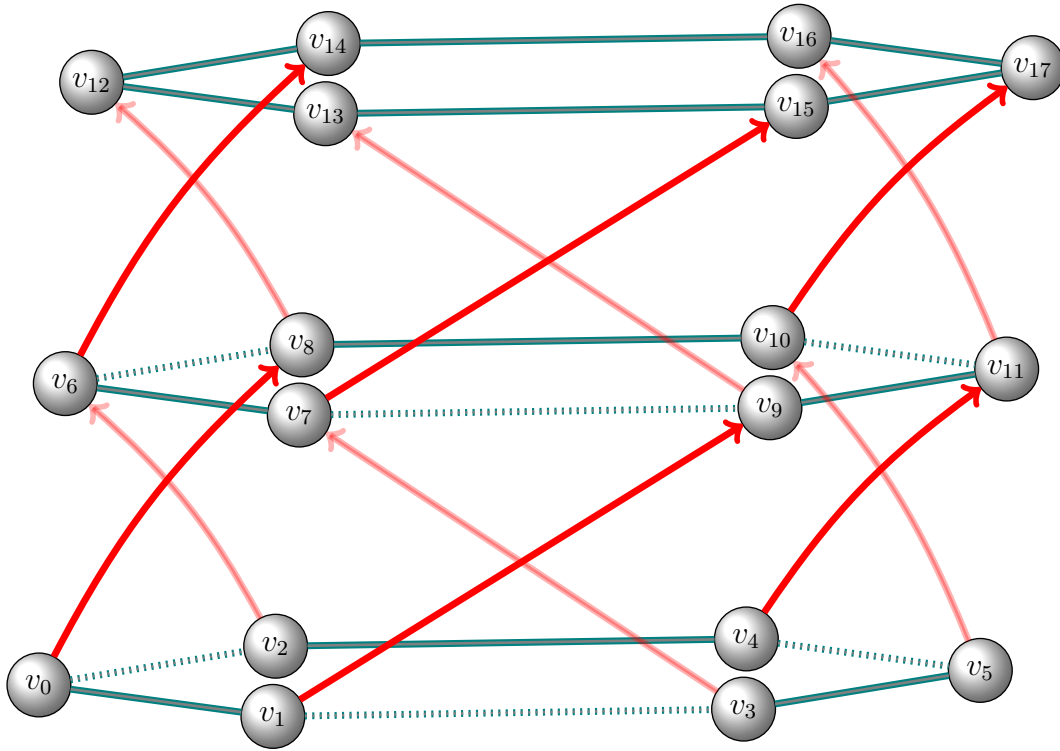


Figura 3:  $G'$  para el ejemplo dado en la figura (2). Las líneas punteadas señalan las aristas que estaban en  $G^*$  pero que quitamos.

un nodo en el nivel 1. Sin embargo, para cualquier vértice en el nivel 1 todos los vértices del grafo son alcanzables. En particular esto vale para  $v_0$ .

Finalmente, definimos a  $G'$  como el resultado de quitarle a los niveles 0 y 1 de  $G^*$  todas las “aristas isomorfas” a las aristas de  $M$ .<sup>1</sup>

En este caso ya no es cierto que cualquier vértice de  $G'$  sea alcanzable desde cualquier vértice del primer nivel: en efecto, si vemos la figura (3), el nodo  $v_2$  no es alcanzable desde el  $v_0$ . No obstante, sigue valiendo el siguiente lema:

**Lema 1.1:** Todo vértice del tercer nivel (nivel 2) de  $G'$  es alcanzable desde todo vértice del primer nivel (nivel 0).

**Demostración:** Sean  $u, w \in V_1$  (es decir, ambos del nivel 0). Supongamos que  $w$  no es alcanzable desde  $u$  en  $G'$ . Como  $G_1$  inicialmente era conexo, esto significa que existía camino de  $u$  a  $w$ ,  $Q$ , y seguro incluía alguna arista especial (sino seguiría existiendo en  $G'$  y  $w$  sería alcanzable desde  $u$ ). Como todos los nodos que eran incidentes a una arista especial en  $G_1$  son incidentes a un arco en  $G'$ , seguro existe  $z \in Q$ , tal que  $z$  es incidente a un arco que permite pasar al segundo nivel. Luego, es posible llegar desde  $u$  a algún vértice del segundo nivel. Si no existe tal nodo  $w$ , entonces cualquier nodo del primer nivel es alcanzable desde  $u$ , y como  $M$  no era vacío, entonces seguro hay un camino desde  $u$  hasta el segundo nivel.

<sup>1</sup>En rigor, tanto  $G'$  como  $G^*$  sirven a nuestro propósito, pero  $G'$  tiene la ventaja de que permitirá reducir el uso de memoria (potencialmente mucho si hay muchas aristas especiales) y constantes en la complejidad de la implementación.

Es fácil ver que exactamente el mismo razonamiento se puede realizar para probar que es posible llegar desde cualquier nodo del segundo nivel a algún nodo del tercer nivel. Luego, por concatenación de ambas cosas, es posible llegar desde cualquier nodo del primer nivel a algún nodo del tercero. Pero como el tercer nivel sigue siendo conexo (pues nunca quitamos las aristas especiales) entonces es claro que esto es equivalente a poder llegar a cualquier nodo del tercer nivel.  $\square$

Debido a este lema, y como todas las aristas de  $G'$  tienen peso 1, es posible aplicar el algoritmo BFS para hallar el camino mínimo entre un nodo del nivel 0 y otro del 2. Particularmente, entre los nodos 0 y  $3n - 1$ .

En la sección siguiente probaremos que esto es equivalente a resolver el problema planteado originalmente.

### 1.2.2. Correctitud y optimalidad

La siguiente proposición garantiza la correctitud y optimalidad de nuestra solución.

**Proposición 1.1:** Sea  $P' = (v_0, v_{i_1}, \dots, v_{i_p}, v_{3n-1})$  un camino mínimo de  $v_0$  a  $v_{3n-1}$  en  $G'$ , entonces  $P = P' \bmod n$ <sup>2</sup> es camino de  $v_0$  a  $v_{n-1}$  en  $G$ , mínimo entre los que pasan por al menos dos aristas especiales.

**Demostración:** Hay que ver tres cosas respecto de  $P$ : que es camino de  $v_0$  a  $v_{n-1}$ , que pasa por al menos dos aristas especiales, y que es mínimo respecto a los caminos que cumplen ambas cosas.

Va a ser útil recordar que  $f_k : V \rightarrow V_k / f_k(v_i) = v_{k \times n + i}$  para  $k \in \{0, 1, 2\}$  son las biyecciones de los isomorfismos planteados en la sección anterior. Además una pequeña observación que usaremos fuertemente:

**Observación 1.1:**  $G = (V, E)$ .  $(u, w) \in E$  pero  $(u, w) \notin M$  si y solo si  $(f_0(u), f_0(w)), (f_1(u), f_1(w))$  y  $(f_2(u), f_2(w))$  son aristas de  $G'$ .

En cambio,  $(u, w) \in M$  si y solo si los arcos  $(f_0(u), f_1(w)), (f_0(w), f_1(u)), (f_1(u), f_2(w))$  y  $(f_1(w), f_2(u))$  están en  $G'$ .

Ambas cosas valen por como construimos  $G'$ .

- Es camino: Ante todo, por definición del operador módulo vale que

$$(\forall v_i \in P) \ 0 \leq i \bmod n \leq n - 1$$

Es decir que todos los vértices de  $P$  pertenecen a  $G$ , y además empieza en  $v_0$  y termina en  $v_{n-1} = v_{(3n-1) \bmod n} = v_{(2n+n-1) \bmod n}$ . Queda ver que efectivamente nodos consecutivos en  $P$  son adyacentes en  $G$ .

Si  $v_i, v_j \in P$  son consecutivos entonces  $v_{h+i} \in P'$  tiene que ser adyacente con  $v_{h'+j} \in P'$  (pues son nodos consecutivos en un camino), donde  $h$  y  $h'$  son un par de constantes múltiplos de  $n$ . Por el contexto del problema  $h$  y  $h'$  solo pueden ser  $0, n$  o  $2n$ . Luego, si

---

<sup>2</sup> $P = P' \bmod n \Leftrightarrow P_i = v_{j \bmod n}$  donde  $P'_i = v_j, i = 0, \dots, k - 1$

$h = h' = k \times n$ , por la observación 1.1, si  $v_{h+i}$  es adyacente a  $v_{h+j}$  en  $G_k$  (cosa que pasa, sino no podría pasar en  $G'$ ) entonces  $v_i$  es adyacente a  $v_j$  en  $G$ . Si  $h \neq h'$ , seguro que cada nodo es el extremo de un arco (pues están en diferentes niveles). Pero por construcción de  $G'$ , solo puede haber un arco entre  $v_{h+i}$  y  $v_{h'+j}$  si había una arista especial entre  $v_i$  y  $v_j$  en  $G$ , lo que significa que eran adyacentes. Luego, queda probado que  $P$  es un camino válido de  $v_0$  a  $v_{n-1}$ .

- Pasa por al menos dos aristas especiales: el nodo  $v_{3n-1}$  pertenece al nivel 2 de  $G'$ . Esto significa que paso por dos arcos. Un arco entre  $v_{k \times n+i}$  y  $v_{(k+1) \times n+j}$  en  $G'$  solo existe si  $(v_i, v_j) \in M$ . Por definición de  $P$ , si tal arco pertenece a  $P'$  entonces tal arista especial pertenece a  $P$ . Luego,  $P$  tiene al menos dos aristas de  $M$  (podría tener más, pues en el tercer nivel las aristas especiales siguen existiendo y no son arcos).
- Es mínimo: Supongamos que  $P$  no es óptimo para el problema. Entonces existe  $Q$  tal que  $|Q| < |P|$  y cumple con pasar por dos aristas de  $M$ . Construyamos  $Q'$ , un camino de  $v_0$  a  $v_{3n-1}$  en  $G'$ , basado en  $Q$ .

El método propuesto a continuación para armar  $Q'$  hace uso fuertemente de la observación 1.1, pues esta nos garantiza que las aristas y arcos mencionados efectivamente existen en  $G'$ .

La idea es la siguiente: recorremos las aristas de  $Q$  en orden y las vamos poniendo en  $Q'$  hasta encontrar la primer arista especial,  $(v_i, v_j)$ . En su lugar agregamos el arco  $(v_i, v_{n+j}) = (f_0(v_i), f_1(v_j))$  a  $Q'$ . Seguimos completando  $Q'$  con aristas  $(f_1(u), f_1(w))$  por cada arista común  $(u, w)$  que encontramos en  $Q$ . Eventualmente llegamos a una segunda arista especial (por hipótesis existe),  $(v_s, v_t)$ , y en su lugar agregamos el arco  $(v_{n+s}, v_{2n+t}) = (f_1(v_s), f_2(v_t))$  a  $Q'$ . Ahora bien, en este punto si  $Q$  es mínimo lo mejor que puede hacer es tomar el camino de distancia mínima desde  $v_t$  hasta  $v_{n-1}$ . Pero tal camino es isomorfo a un camino desde  $v_{2n+t} = f_2(v_t)$  hasta  $v_{3n-1} = f_2(v_{n-1})$ , pues el tercer nivel es isomorfo a  $G$ . Por lo tanto agregando este camino a  $Q'$ , llegamos a que  $Q'$  es un camino de  $v_0$  a  $v_{3n-1}$  en  $G'$ .

Pero como  $|Q'| = |Q| < |P| = |P'|$ , encontramos un camino más corto que  $P'$  en  $G'$  tal que conecta los mismos vértices. Esto es absurdo, pues por hipótesis  $P'$  era camino mínimo. Luego, el absurdo provino de suponer que  $P$  no era óptimo para el problema.

Finalmente, queda demostrada la proposición.  $\square$

De hecho, la recíproca de esta proposición también vale. No lo probamos sin embargo porque no es necesario para la correctitud de la solución. La forma de probarlo sería similar igualmente.

### 1.2.3. Explicación del código

Notar que para las dimensiones del grafo que toma BFS no usamos  $n$  y  $m$  sino  $n'$  y  $m'$ , para no confundir con las dimensiones del problema original puesto que pueden ser diferentes, y de hecho por cómo lo vamos a usar, así va a ser.



**Algorithm 1** Pseudocódigo del procedimiento BFS

---

```

1: procedure BFS(ListaAdyacencia vs, vertice root, vertice target, int n')→
   Vector<vertice>
2:   cola<vertice> c ← Vacía()                                ▷  $O(1)$ 
3:   vector<int> distancia(n',  $\infty$ )                        ▷  $O(n')$ 
4:   vector<vertice> acm(n', -1)                            ▷  $O(n')$ 
5:   distancia[root] ← 0                                       ▷  $O(1)$ 
6:   acm[root] ← root                                         ▷  $O(1)$ 
7:   c.push(root)                                              ▷  $O(1)$ 
8:   while  $\neg$ c.vacia?() do                                  ▷  $O(n)$  veces
9:     actual ← c.pop()                                         ▷  $O(1)$ 
10:    VerticesAdyacentes vecinos ← vs[actual]                ▷  $O(1)$ 
11:    for v ∈ vecinos do                                       ▷  $O(d(v))$  veces
12:      if distancia[v] =  $\infty$  then                            ▷  $O(1)$ 
13:        distancia[v] ← distancia[actual] + 1              ▷  $O(1)$ 
14:        acm[v] = actual                                       ▷  $O(1)$ 
15:        if v = target then                                    ▷  $O(1)$ 
16:          break                                                ▷  $O(1)$ 
17:          c.push(v)                                           ▷  $O(1)$ 
18:   int long_sol ← distancia[target] - 1                      ▷  $O(1)$ 
19:   vector<vertice> solucion(long_sol, 0)                    ▷  $O(long\_sol) \subseteq O(m')$ 
20:   vertice v ← acm[target]                                    ▷  $O(1)$ 
21:   for int i desde long_sol - 1 hasta 0 do                  ▷  $O(m')$  veces
22:     solucion[i] ← v                                          ▷  $O(1)$ 
23:     v ← acm[v]                                              ▷  $O(1)$ 
24:   return solucion

```

---

La implementación de BFS que realizamos está compuesta por dos partes: la primera hasta la línea 17 inclusive, es la implementación clásica del algoritmo de búsqueda en anchura para determinar caminos mínimos, en particular modificada un poco para que termine a penas compute un camino hasta el nodo objetivo pues es el único que nos importa realmente; la segunda consiste en reconstruir el camino mínimo entre *root* y *target* a partir del árbol de caminos mínimos. Notar que la función tiene como precondition que efectivamente exista algún camino desde *root* hasta *target*.

Para la primer parte tenemos esencialmente tres estructuras importantes:

- una cola FIFO de vértices donde iremos encolando los vecinos del nodo en el que estamos actualmente y que todavía no hayamos visitado; la misma está implementada sobre una lista doblemente enlazada, lo que permite que las operaciones de encolar, desencolar y ver el siguiente elemento sean todas  $O(1)$ .
- un vector de distancias tal que la posición *i*-ésima del mismo guarda la distancia desde el *root* hasta el nodo *i* (o bien  $\infty$  si todavía no pasamos por *i*, o simplemente *i* no es alcanzable desde *root*).
- un vector de vértices que representará nuestro árbol de caminos mínimos desde el *root* hasta cualquier nodo, de forma que en la posición *i*-ésima del vector tendremos al padre

del nodo  $i$  en el árbol (o bien -1, si todavía no pasamos por  $i$ , o simplemente no es alcanzable desde  $root$ ).

Que la búsqueda es correcta es resultado inmediato de que el algoritmo es el BFS tradicional cuya correctitud ya está probada.

Una vez hallado un camino mínimo hasta el nodo  $target$ , queremos ahora armar un vector de vértices que contenga a todos los vértices de dicho camino. Como la distancia es la cantidad de vértices en el camino menos uno, entonces el vector tendrá que tener tamaño igual a la distancia más uno. Pero como no nos interesa que el primer y último nodos estén en el vector entonces nos queda que el largo del mismo será  $l = d(root, target) - 1$ . Luego, es cuestión de llenar las posiciones de este vector de atrás para adelante, pues *a priori* para cada nodo solo sabemos cual es su padre en el árbol de caminos mínimos. La última posición tendrá al padre del nodo  $target$ , la anteúltima al padre del padre y así. Iterando  $l$  veces llegamos a que en la posición inicial del vector hay un nodo que es hijo de  $root$  y ancestro de  $target$ .

Finalmente devolvemos este vector.

---

**Algorithm 2** Pseudocódigo del main
 

---

```

1: procedure MAIN
2:   int  $n$  ▷ Cantidad de nodos
3:   vector(vector(int))  $input$  ▷  $input[i]$  almacena los datos de la  $i$ -ésima arista pasada
4:    $inicializar(input, n)$  ▷ Leemos los datos pasados como parámetros e inicializamos
5:   ListaAdyacencia  $adj\_list(3 * n, VerticesAdyacentes())$  ▷  $O(3 \times n) = O(n)$ 
6:   for  $(v_1, v_2, e) \in input$  do ▷  $m$  veces
7:     if  $e = True$  then ▷  $O(1)$ 
8:        $adj\_list[v_1].push\_back(v_2 + n)$  ▷  $O(1)$ 
9:        $adj\_list[v_1 + n].push\_back(v_2 + 2 \times n)$  ▷  $O(1)$ 
10:       $adj\_list[v_2].push\_back(v_1 + n)$  ▷  $O(1)$ 
11:       $adj\_list[v_2 + n].push\_back(v_1 + 2 \times n)$  ▷  $O(1)$ 
12:     else
13:        $adj\_list[v_1].push\_back(v_2)$  ▷  $O(1)$ 
14:        $adj\_list[v_2].push\_back(v_1)$  ▷  $O(1)$ 
15:        $adj\_list[v_1 + n].push\_back(v_2 + n)$  ▷  $O(1)$ 
16:        $adj\_list[v_2 + n].push\_back(v_1 + n)$  ▷  $O(1)$ 
17:        $adj\_list[v_1 + 2 \times n].push\_back(v_2 + 2 \times n)$  ▷  $O(1)$ 
18:        $adj\_list[v_2 + 2 \times n].push\_back(v_1 + 2 \times n)$  ▷  $O(1)$ 
19:   vector<vertice>  $solucion \leftarrow bfs(adj\_list, 0, 3 \times n)$  ▷  $O(3n + 3m) = O(n + m)$ 
20:    $print(solucion.size() + 1)$ 
21:   for  $v \in solucion$  do
22:      $print(v \% n)$ 

```

---

Nuestra función main tiene tres partes importantes:

- El armado de la lista de adyacencias de  $G'$ . Si la arista que estamos agregando es especial, agregamos los arcos correspondientes del nivel 0 al 1, y del 1 al 2. Si no lo es, entonces agregamos la arista tanto en el nivel 0 como en el 1. En ambos casos, agregamos la arista normalmente en el nivel 2.

- El llamado a BFS pasando como parámetros la lista de adyacencias anterior, tomando como *root* el nodo 0 y como target el  $3n-1$ . Dichos parámetros cumplen las precondiciones de BFS por el Lema 1.1 y por ser todas aristas de peso 1.
- La impresión del resultado. Acá es importantísimo notar que imprimimos los vértices módulo  $n$  pues lo que nos devuelve BFS son nodos del grafo  $G'$  y no de  $G$ . Por la Proposición 1.1 esto efectivamente constituye una solución al problema original.

### 1.3. Complejidad del algoritmo

La complejidad en peor caso de la solución es la complejidad de la función *main*. Omitiendo las partes de lectura y escritura de datos, tenemos que el costo de dicha función es el costo de armar el nuevo grafo más el costo de realizar *BFS* sobre él.

Viendo el algoritmo 2, el costo de armar el grafo es  $O(n + 6m) = O(n + m)$ . Vale destacar que esta complejidad es además claramente una cota inferior, pues el costo de armar el grafo nuevo depende únicamente de la cantidad de vértices y aristas, y no de las características topológicas particulares. Por lo tanto el algoritmo en general debe ser al menos  $\Omega(n + m)$ .

Por otra parte, observando el algoritmo 1, *BFS* tiene una complejidad en peor caso de

$$\begin{aligned}
 O(1 + 2n' + 3 + 2n' + (\sum_{i=0}^{n'-1} d(v_i)) \times 5 + m' + 1 + 2m') &= O(5 + 4n' + 2m' \times 5 + 3m') \\
 &= O(4n' + 13m') \\
 &= O(n' + m')
 \end{aligned} \tag{1}$$

Notar que en el primer término podemos escribir la sumatoria de los grados de todos los nodos debido a que en peor caso hará falta pasar por todos ellos, y por otra parte sabemos que pasamos por cada uno exactamente una vez. El segundo término resulta de agrupar y reemplazar la sumatoria por  $2m'$  (cosa que podemos hacer pues es una identidad válida para todos los grafos).

En nuestro problema concreto  $n' = 3 \times n$  y  $m' = 3 \times m$  (por cada arista que saque estoy poniendo un arco que lo compensa).

Luego, la complejidad asintótica del algoritmo en peor caso es  $O(n + m + 3n + 3m) = O(4(n + m)) = O(n + m)$ . Por otra parte como dijimos que también era  $\Omega(n + m)$ , tenemos que es  $\Theta(n + m)$ .

De hecho, asintóticamente también lo es en mejor caso (cuando existe un camino de longitud 3): si bien *BFS* puede ser  $\Theta(1)$  debido a que nuestra implementación termina de buscar una vez que encuentra al nodo deseado, armar el grafo sigue siendo  $\Theta(n + m)$  en cualquier caso. En definitiva no tiene sentido hablar de mejor o peor caso pues ambos son iguales en términos asintóticos.

## 1.4. Performance del algoritmo

Como dijimos anteriormente, el algoritmo tiene una complejidad de  $\Theta(n + m)$ . El algoritmo no tiene peor o mejor caso propiamente dichos (dado que es  $\Theta(n + m)$  para todos los casos), pero veremos que, tomando  $n$  fijo y moviendo  $m$ , podemos hacer variar el tiempo que toma el algoritmo.

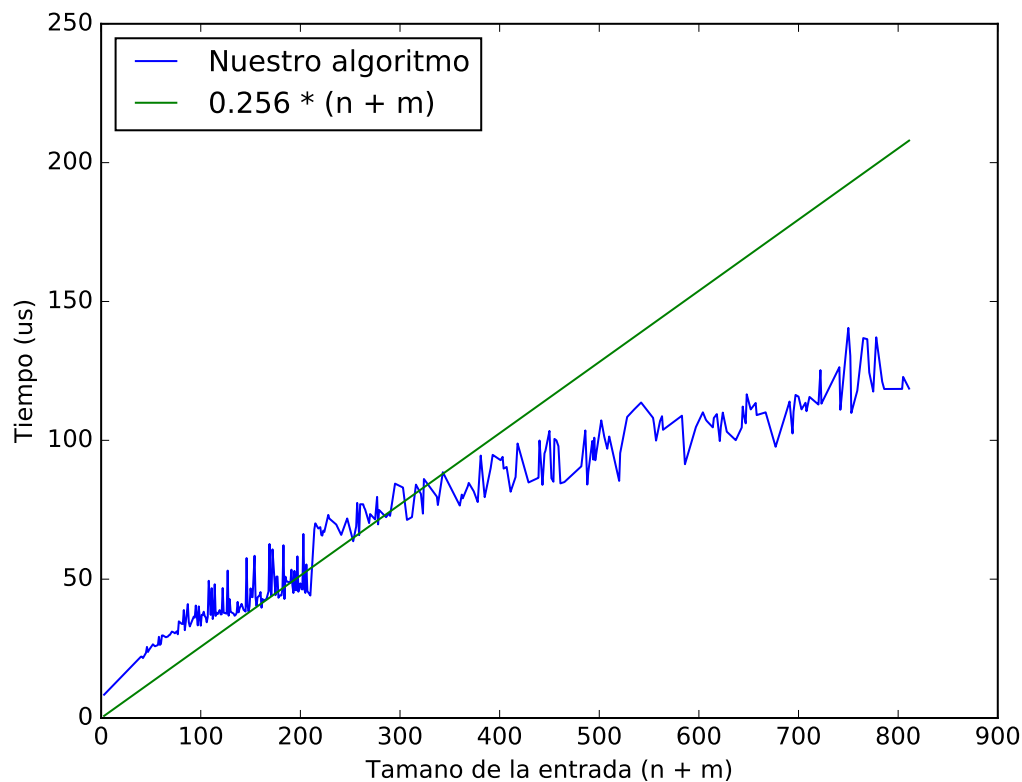


Figura 4: Tiempo que toma el algoritmo en  $\mu s$  para una entrada de tamaño  $n + m$ .  $m$  al azar entre  $n - 1$  y  $\frac{n(n-1)}{2}$ .

Como se observa, la implementación tiene complejidad lineal sobre  $n + m$ , como era esperado.

Para confirmarlo, usamos el gráfico de la función  $\frac{T(n+m)}{n+m}$ , donde  $T$  es el tiempo que tarda el algoritmo para la entrada de tamaño dado. Si vemos que converge a una constante, estaremos en el caso exacto de la definición de  $\Theta(f(n))$ .

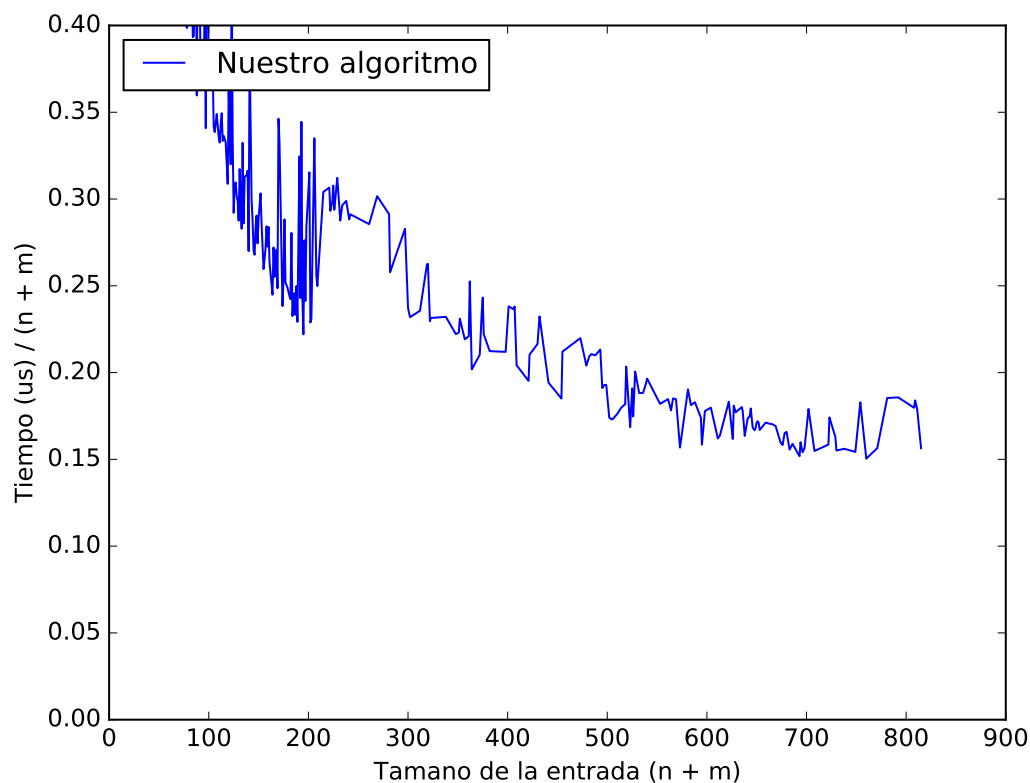


Figura 5: Tiempo que toma el algoritmo en  $\mu s$  dividido  $n + m$  para una entrada de tamaño  $n + m$ .  $m$  al azar entre  $n - 1$  y  $\frac{n(n-1)}{2}$

El ruido del gráfico se debe a que la escala es otra y distorciona las distancias entre los puntos. Sin embargo, se puede observar que converge a una constante, como era esperado.

Como habíamos dicho anteriormente, aunque el algoritmo es  $\Theta(n + m)$ , podemos ver casos particulares del algoritmo, en el que  $n$  está fijo y movemos  $m$  y ver como se comporta el algoritmo.

Primero veamos el caso en el que  $m \in O(n)$ . Esperaríamos que el algoritmo aquí tenga una complejidad de  $O(n + m) = O(n + n) = O(n)$ . Esto fue confirmado experimentalmente, como se muestra a continuación.

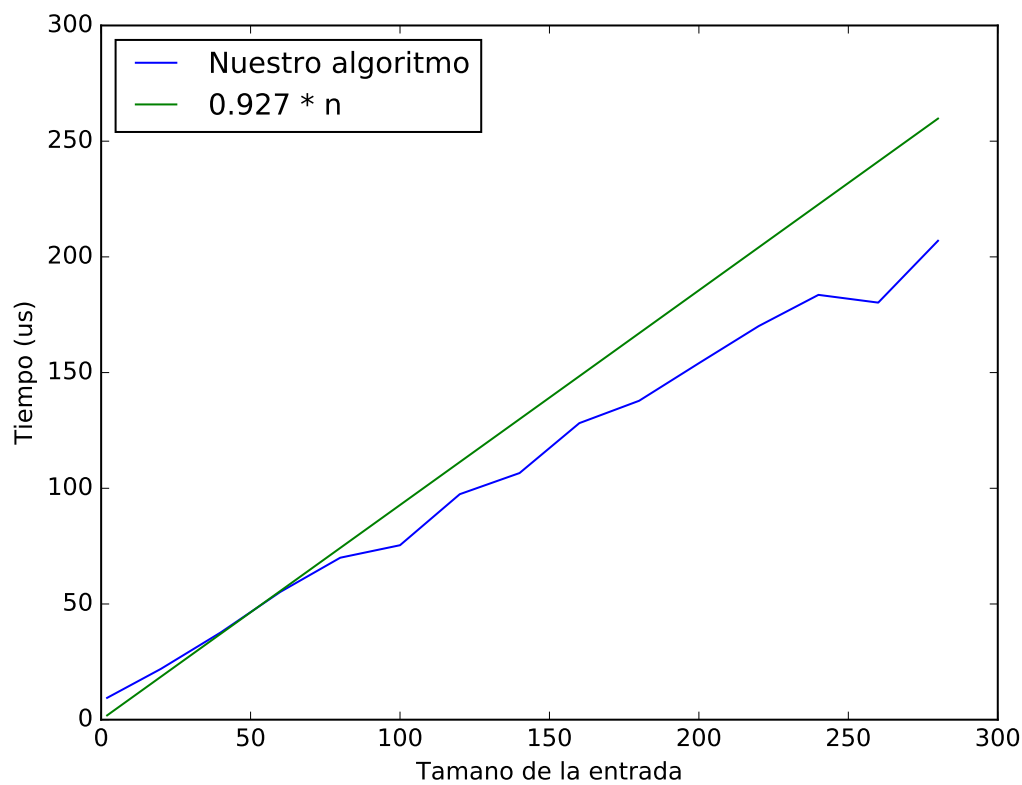


Figura 6: Tiempo que toma el algoritmo en  $\mu s$  para una entrada de tamaño  $n$  ( $m \in O(n)$ ).

Ahora veamos el caso en el que  $m \in O(n^2)$ . Esperaríamos que el algoritmo aquí tenga una complejidad de  $O(n + m) = O(n + n^2) = O(n^2)$ . Esto fue, nuevamente, confirmado experimentalmente.

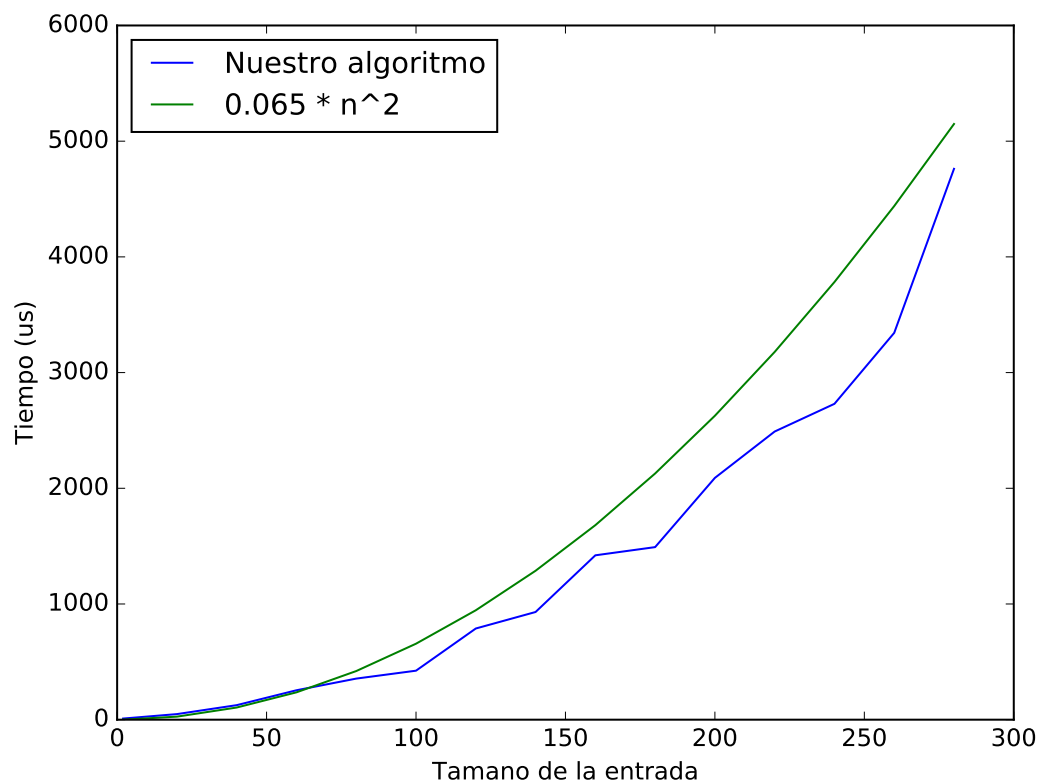


Figura 7: Tiempo que toma el algoritmo en  $\mu s$  para una entrada de tamaño  $n$  ( $m \in O(n^2)$ ).

Por último, como diremos en detalle en la siguiente sección, en la que explicamos la metodología de experimentación, en todos los experimentos anteriores asumimos que no importan la cantidad de caminos especiales de un grafo dado.

Esto es bastante obvio desde el punto de vista del algoritmo, pero nos parece algo muy interesante verificarlo experimentalmente, dado que en este hecho se basan todos los experimentos anteriores.

Como puede verse en el gráfico que sigue, si tomamos  $n$  y  $m$  fijos, la cantidad de caminos especiales del grafo no afectan la performance del algoritmo.

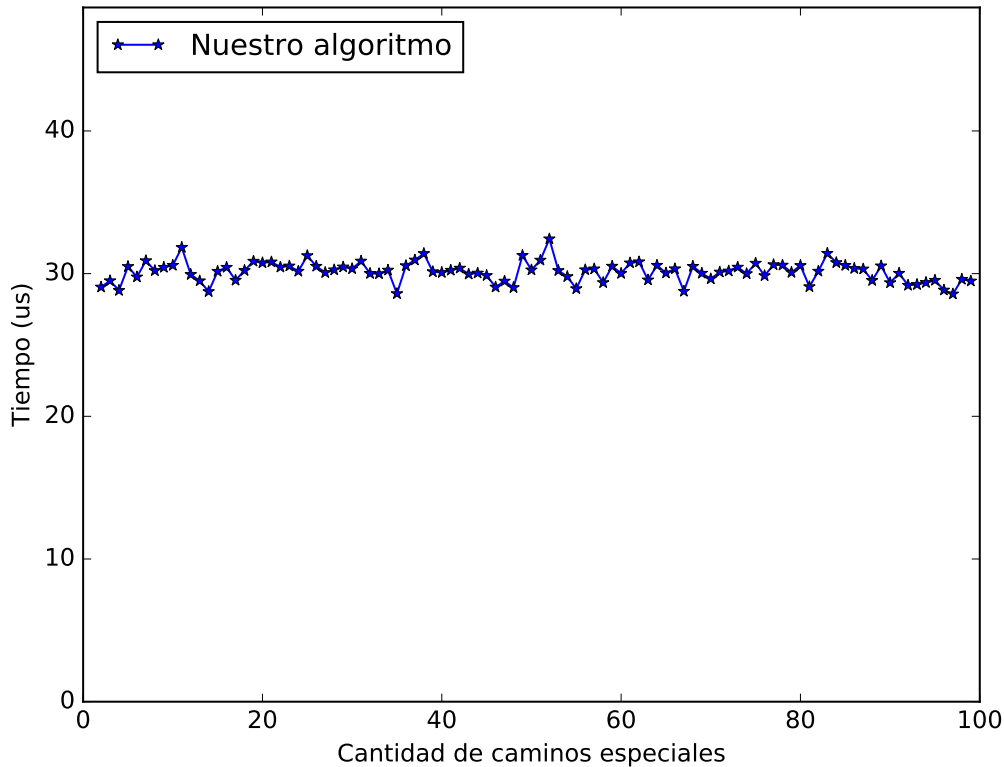


Figura 8: Tiempo que toma el algoritmo en  $\mu s$  para una entrada de tamaño  $n = 15, m = 100$ , variando la cantidad de caminos especiales.

#### 1.4.1. Método de experimentación

Para la experimentación general del algoritmo, es decir, la verificación de que su complejidad era de  $\Theta(n + m)$ , generábamos distintos grafos al azar ( $n$  al azar y  $m$  elegido al azar tal que quede conexo).

En los casos particulares, dado  $n$  fijo, tomamos  $m = n - 1$  para el primer experimento y  $m = \frac{n(n-1)}{2}$  en el segundo experimento.

Para la generación al azar de grafos utilizamos el algoritmo descrito en el apéndice. Vale la pena aclarar como hicimos para decidir cuántas aristas especiales tendría el grafo. Primero, lo que hicimos fue notar experimentalmente que, con  $n$  y  $m$  fijos, si tomábamos distinta cantidad de caminos especiales (de 2 a  $m$ ), la varianza de las mediciones era muy baja, es decir, la cantidad de caminos especiales de un grafo no afecta en nada a la performance.

Esto fue observado y comprobado experimentalmente anteriormente. En consecuencia, para cada  $n$  y  $m$  fijo, tomamos grafos totalmente al azar, con cantidad de caminos especiales también al azar, y calculamos la mediana de todos los tiempos para determinar el tiempo total.



## 2. El Imperio Contraataca

### 2.1. Explicación formal del problema

### 2.2. Explicación de la solución

#### 2.2.1. Explicación del código

#### 2.2.2. Pseudocódigo

#### 2.2.3. Correctitud

#### 2.2.4. Optimalidad

### 2.3. Complejidad del algoritmo

#### 2.3.1. Complejidad en peor caso

#### 2.3.2. Complejidad en mejor caso

### 2.4. Performance del algoritmo

Este algoritmo tiene complejidad  $O(m \log m)$ . Sin embargo, como vimos anteriormente, esta no es una cota ajustada, si no que nuestro algoritmo puede acotarse más ajustadamente por  $O(m \log n)$ .

De todos modos, primero confirmemos que nuestro algoritmo tiene complejidad  $O(m \log m)$ .

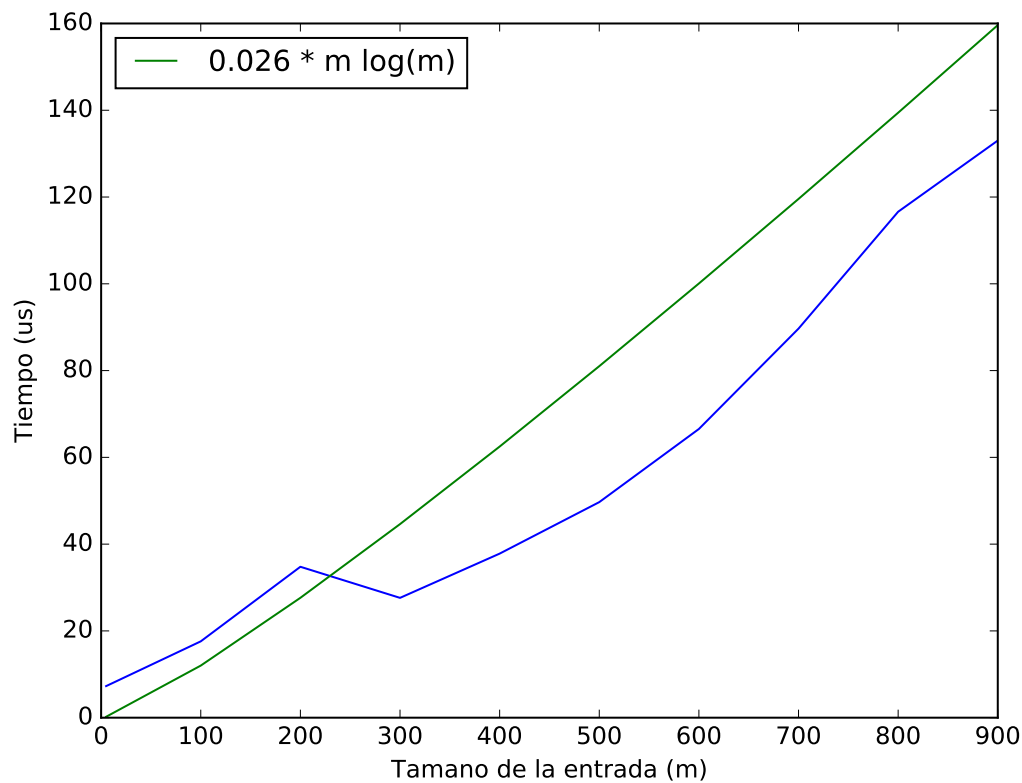


Figura 9: Tiempo que toma el algoritmo en  $\mu s$  para una entrada de tamaño  $m$ .  $n$  al azar.

Sin embargo, como dijimos antes, esta cota no es ajustada. Esto puede verse en el siguiente gráfico. Lo que hicimos fue tomar  $m$  fijo como antes, pero no mostrar las mediciones condensadas en un punto, si no que ahora mostramos todas las mediciones tomadas para un mismo  $m$ , variando  $n$ .

Como puede verse, la varianza es altísima.

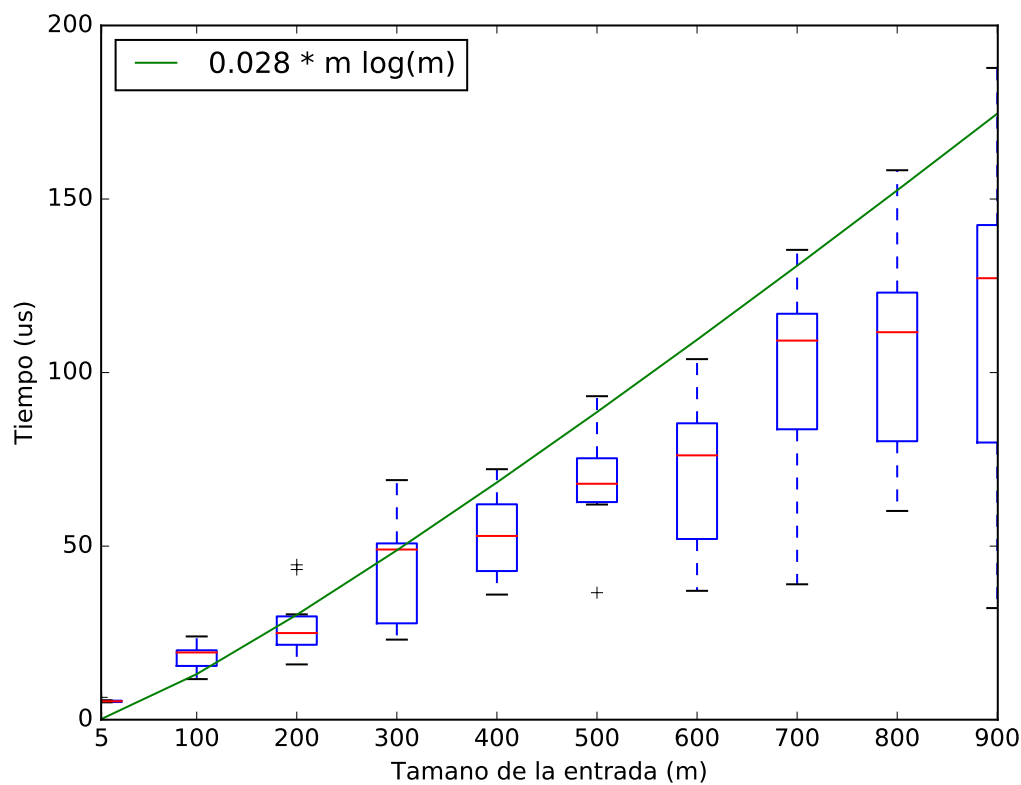


Figura 10: Tiempo que toma el algoritmo en  $\mu s$  para una entrada de tamaño  $m$ .  $n$  al azar. Se indican los valores del primer al tercer cuartil con un rectángulo azul y la mediana con una linea roja. El máximo y mínimo se indican con lineas negras arriba y abajo del rectángulo.

Esto se debe a que en realidad, la complejidad no es independiente de  $n$ , si no que para  $m$  fijo, si se toma un  $n$  más pequeño, el tiempo que tarde el programa va a ser mucho menor que con un  $n$  un poco más grande.

Como dijimos antes, una cota más ajustada para nuestro algoritmo es la de  $O(m \log n)$ , así que pasemos a confirmar esto experimentalmente.

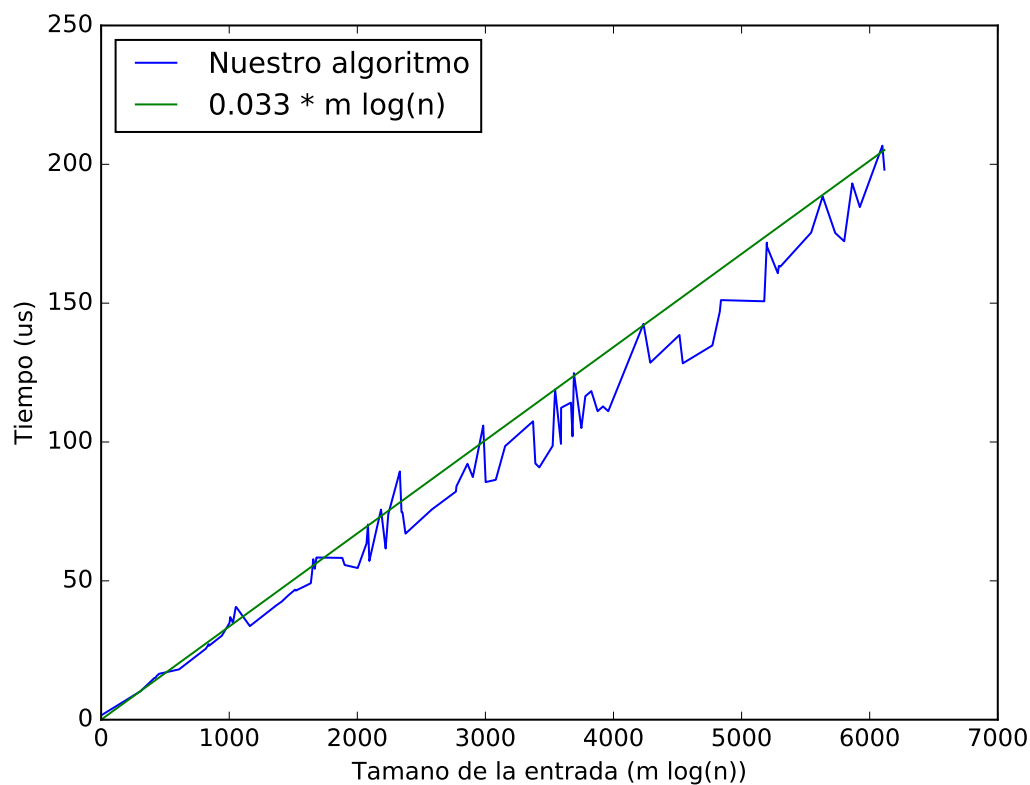


Figura 11: Tiempo que toma el algoritmo en  $\mu s$  para una entrada de tamaño  $m \log n$ .

#### 2.4.1. Método de experimentación

Para generar los grafos al azar, al igual que en el problema anterior, usamos el algoritmo descrito en el apéndice.

Para las figuras 9 y 11 tomamos 100 mediciones (en el caso de 9 tomamos algunas más, porque para cada  $m$  tomabamos varios  $n$  distintos, al rededor de 10, o sea que las mediciones en este caso eran de 1000, 100 por cada  $n$ ). De todas estas mediciones tomamos la mediana, que es lo que se representó en el gráfico.

### 3. El Retorno del ~~que te~~ Jedi

#### 3.1. Explicación formal del problema

Sea una matriz  $M \in \mathbb{R}^{n \times m}$ , donde cada posición de la matriz  $M_{ij}$  tiene un valor asociado  $h_{ij}$ . El problema consiste en calcular el camino mínimo de casilleros desde la posición (1,1) hasta la posición (N,M), donde los únicos dos movimientos posibles son:

*Moverse hacia el casillero superior:*

$$M_{i,j} \rightarrow M_{i+1,j}$$

ó *Moverse hacia el casillero de la derecha:*

$$M_{i,j} \rightarrow M_{i,j+1}$$

Realizar estos movimientos tiene un costo que depende de un parámetro de entrada  $H$ :

$$Costo(M_{i,j} \rightarrow M_{i+1,j}) = \begin{cases} 0 & \text{si } |h_{i,j} - h_{i+1,j}| \leq H \\ |h_{i,j} - h_{i+1,j}| - H & \text{caso contrario} \end{cases} \quad (2)$$

$$Costo(M_{i,j} \rightarrow M_{i,j+1}) = \begin{cases} 0 & \text{si } |h_{i,j} - h_{i,j+1}| \leq H \\ |h_{i,j} - h_{i,j+1}| - H & \text{caso contrario} \end{cases} \quad (3)$$

##### 3.1.1. Ejemplos

#### 3.2. Formulación Recursiva

Obtendremos la solución del problema usando un algoritmo de programación dinámica. Para eso, planteamos una formulación recursiva del problema. Sea la función  $f$ :

$f(i, j)$  = costo de un camino óptimo desde  $M_{1,1}$  hasta  $M_{i,j}$

Entonces, la solución del problema está dada por  $f(n, m)$ . Se propone la siguiente recursión para calcular  $f$ :

$$f(i, j) = \min \left( \begin{array}{l} f(i-1, j) + Costo(M_{i-1,j} \rightarrow M_{i,j}), \\ f(i, j-1) + Costo(M_{i,j-1} \rightarrow M_{i,j}) \end{array} \right) \quad (4)$$

con algunos casos particulares:

$$f(1, 1) = 0$$

$$f(1, j) = f(1, j-1) + Costo(M_{1,j-1} \rightarrow M_{1,j})$$

$$f(i, 1) = f(i-1, 1) + Costo(M_{i-1,1} \rightarrow M_{i,1})$$

### 3.2.1. Demostración de Correctitud

El caso base  $f(1, 1)$  es trivial, ya que no realizo ningún movimiento.

Dada cualquier otra posición  $(i, j)$  de la matriz, el camino mínimo para llegar a ella tiene como última posición visitada o la casilla de su izquierda  $(i, j - 1)$  (si existe), o la casilla de abajo  $(i - 1, j)$  (si existe) por el enunciado del problema, ya que los únicos movimientos posibles son moverse hacia arriba o hacia la derecha.

Para demostrar que la función  $f$  propuesta calcula el camino mínimo hasta la casilla cualquiera  $M_{i,j}$  debemos ver que se cumple el **Principio de Optimalidad**. Es decir, que dado un camino óptimo desde  $M_{1,1}$  hasta  $M_{i,j}$ ,  $P_{i,j}$ , entonces, el subcamino desde  $M_{1,1}$  hasta el inmediato antecesor de  $M_{i,j}$  ( $P_{i-1,j}$  o  $P_{i,j-1}$ ) debe ser óptimo:

Sea  $P_{i,j}$  el camino óptimo desde  $M_{1,1}$  hasta  $M_{i,j}$ . SPGE, puedo suponer que el inmediato antecesor de  $M_{i,j}$  en  $P$  es  $M_{i,j-1}$ . Supongamos que el sub camino hasta el antecesor de  $M_{i,j}$  ( $P_{i,j-1}$ ) no es óptimo. Entonces,  $\exists P_{i,j-1}$  tal que  $Costo(P_{i,j-1}) < Costo(P_{i,j-1})$ .

Pero entonces, puedo tomar el camino  $P_{i,j-1}$  y de ahí moverme a la posición  $M_{i,j}$ .  $Costo(P_{i,j-1}) + Costo(M_{i-1,j} \rightarrow M_{i,j}) < Costo(P_{i,j-1}) + Costo(M_{i-1,j} \rightarrow M_{i,j}) = Costo(P_{i,j})$ . Pero esto es absurdo, ya que existiría un camino mejor que el óptimo hasta la posición  $(i, j)$ .

Como aplica el principio de optimalidad y sólo hay dos posibles antecesores para una determinada casilla  $M_{i,j}$ , para calcular el camino mínimo hasta una posición  $(i, j)$  basta con tomar el mínimo entre las dos posibilidades, tomando en cuenta el costo de realizar el último movimiento.

Para los casos borde de la matriz, en la primera columna y en la primera fila, donde sólo tengo un sólo posible antecesor (el inmediato de abajo y el inmediato de la izquierda respectivamente), el camino mínimo entonces es el camino mínimo hasta el único antecesor más el último movimiento.  $\square$

## 3.3. Pseudocódigo

### 3.3.1. Enfoque top-down vs. bottom-up

## 3.4. Complejidad del algoritmo

### 3.4.1. Complejidad en peor caso

### 3.4.2. Complejidad en mejor caso

## 3.5. Performance del algoritmo

Como dijimos antes, la complejidad del algoritmo es siempre  $\Theta(nm)$ , sin distinción entre casos, por lo que el análisis de performance es simple.

Primero veamos que, en la práctica, la complejidad del algoritmo es efectivamente  $\Theta(n \log n)$ .

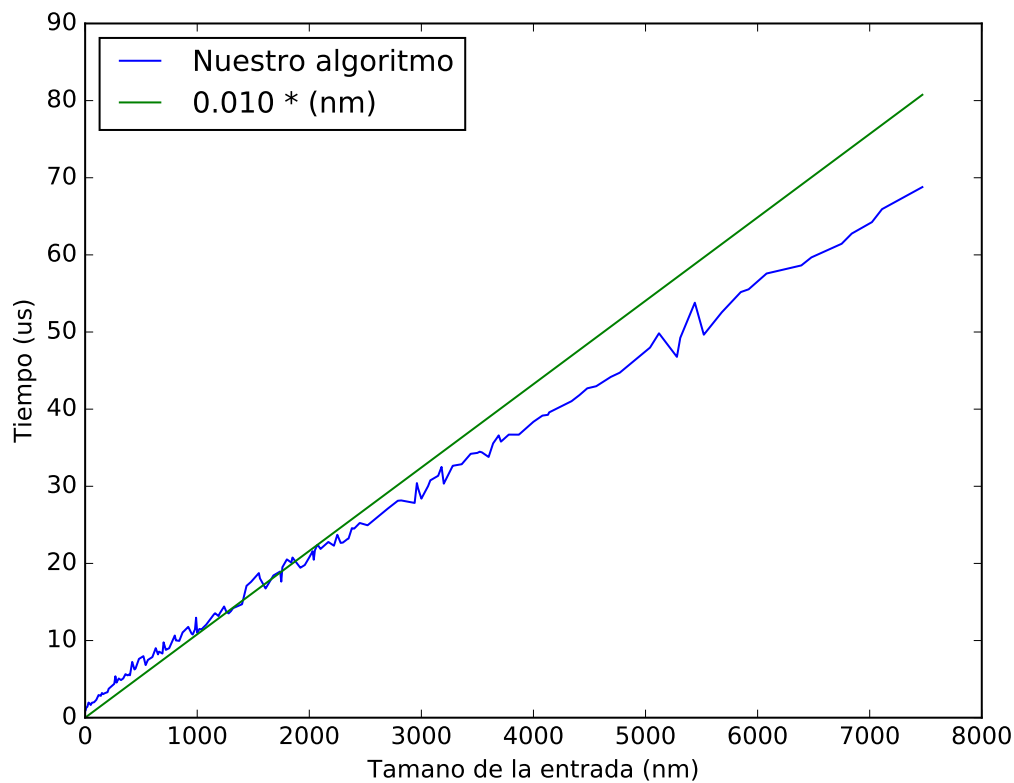


Figura 12: Tiempo que toma el algoritmo en  $\mu s$  para una entrada de tamaño  $nm$ .

En esta imagen se ve que se comporta como debe. Sin embargo, al igual que en los problemas anteriores, para confirmarlo totalmente, realizamos el gráfico de  $\frac{T(nm)}{nm}$ , dado que si esta función tiene a una constante cuando  $nm \rightarrow \infty$ , habremos confirmado experimentalmente que la complejidad del algoritmo es de  $\Theta(nm)$ .

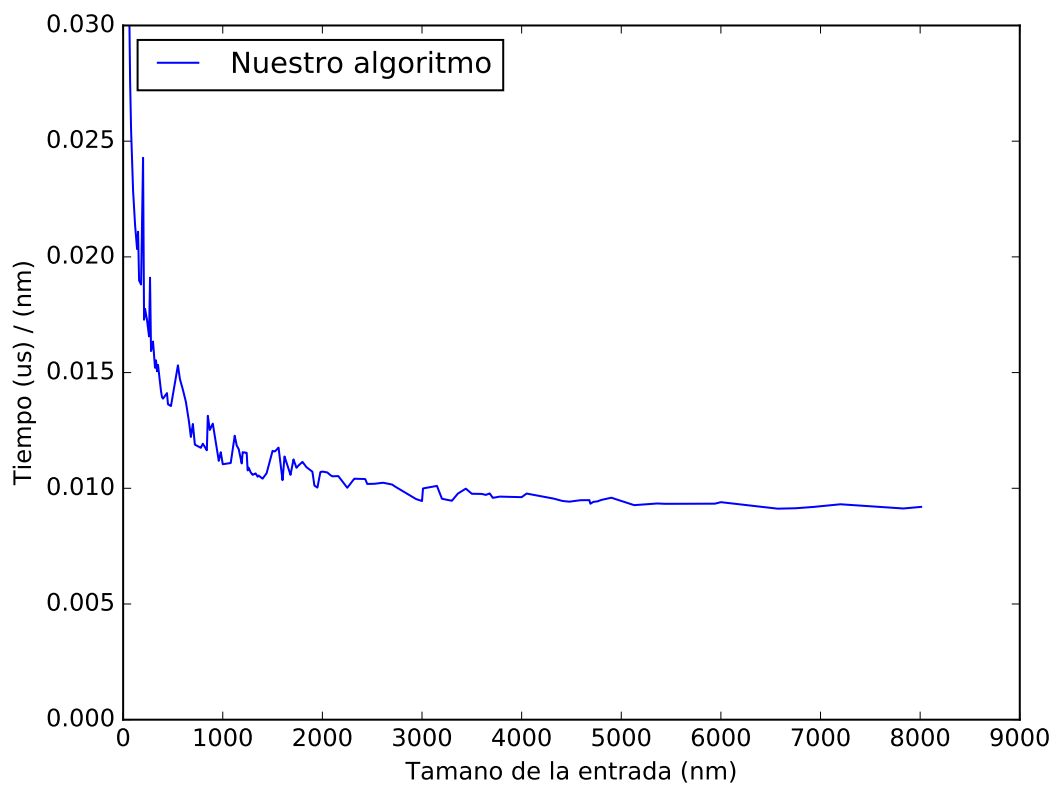


Figura 13: Tiempo que toma el algoritmo en  $\mu s$  dividido  $mn$  para una entrada de tamaño  $mn$ .

### 3.5.1. Método de experimentación

Dados  $n$  y  $m$ , generamos una matriz de  $n \times m$ , donde cada celda tiene un peso al azar. Para cada par  $n, m$  generamos varias matrices (cada una con pesos distintos en cada celda), y tomamos la mediana de esas mediciones.

De todas maneras, la varianza del tiempo para cada matriz de la misma dimensión era casi nula, dado que obviamente el valor de las celdas no afecta el tiempo. Sin embargo, nos parece importante aclarar que esto sucede, y que además fue verificado experimentalmente como dijimos.



## 4. Apéndice

### 4.1. Generación de grafos conexos aleatorios

---

**Algorithm 3** Pseudocódigo del procedimiento para generar grafos conexos al azar

---

```

1: procedure GRAFO_RANDOM(int  $n$ , int  $m$ )  $\rightarrow$  Grafo
2:    $k_n \leftarrow \{(0, 1), (0, 2), \dots, (0, n), (1, 2), (1, 3), \dots, (n-2, n-1)\}$ 
3:    $vertices \leftarrow \{random.range(0, n)\}$   $\triangleright$  Empiezo con un vértice al azar
4:    $agm \leftarrow \{\}$ 
5:   while  $vertices.size() < n$  do
6:      $aristas \leftarrow$  “aristas  $(u, v)$  de  $k_n$  tal que  $u \in vertices$  y  $v \notin vertices$  o viceversa”
7:      $arista\_nueva \leftarrow random.choice(aristas)$ 
8:      $agm.add(arista\_nueva)$ 
9:      $k_n.remove(arista\_nueva)$ 
10:     $vertices.add(\text{“extremo de } arista\_nueva \text{ que no estaba en vertices”})$ 
11:     $\triangleright$  Cuando termina este ciclo tenemos un árbol de  $n$  aristas
12:   $grafo \leftarrow agm$ 
13:  while  $grafo.size() < m$  do
14:     $arista \leftarrow random.choice(k_n)$ 
15:     $grafo.add(arista)$ 
16:     $k_n.remove(arista)$ 
17:  for  $arista \in grafo$  do
18:     $peso(arista) \leftarrow random.random()$ 
  return  $grafo$ 

```

---

El algoritmo, se basa en generar un grafo conexo minimal (es decir, un árbol) de  $n$  vértices. Para lograr esto, técnicamente lo que hacemos es empezar con  $K_n$ , es decir, el grafo completo de  $n$  vértices, con todos sus aristas de igual peso, y le encontramos un árbol generador mínimo utilizando Prim. Todo esto es obviamente trivial en este caso, dado que todas las aristas tienen igual peso, así que básicamente lo que hacemos es elegir una arista al azar en cada paso.

Luego, una vez que tenemos el árbol terminado, lo completamos con aristas al azar, hasta llegar al objetivo de  $m$  aristas.

Finalmente, se eligen pesos al azar para cada arista.